

Декодирование мозговых сигналов в аудиоданные

Набиев Мухаммадшариф Фуркатович

Московский физико-технический институт

Курс: Моя первая научная статья
(практика, В. В. Стрижов)

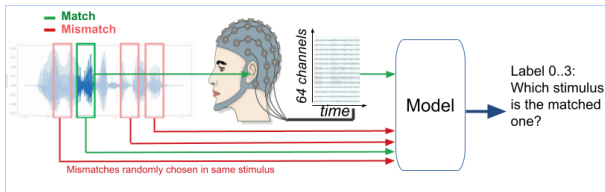
Эксперт: аспирант П. А. Северилов

2024

Цель исследования

Цель: Исследовать влияние физико-информированных энкодеров на качество декодирования мозговых сигналов в аудиоданные.

Задача: Решить задачу декодирования в постановке классификации, а именно определить, какой сегмент аудио вызвал конкретную мозговую активность.



Постановка задачи

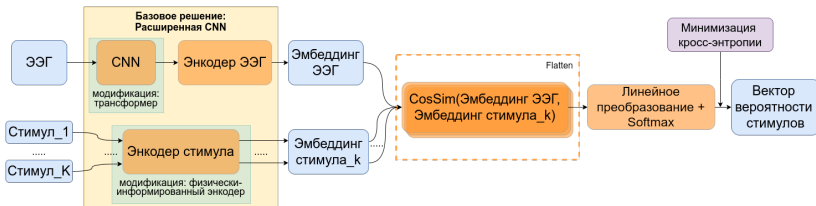
Данные: Кортеж $(\mathbf{X}^i, \mathbf{s}_1^i, \dots, \mathbf{s}_K^i)$, где $\mathbf{X}^i \in \mathbb{R}^{64 \times T}$ — ЭЭГ-сигнал с 64 каналами, $\mathbf{s}_1^i, \dots, \mathbf{s}_K^i \in \mathbb{R}^{1 \times T}$ — стимулы, а K — количество стимулов. Меткой данного объекта будет являться вектор $\mathbf{y}^i \in \{0, 1\}^K$. Только один стимул является истинным.

Требуется по имеющимся $\mathbf{X}^i, \mathbf{s}_1^i, \dots, \mathbf{s}_K^i$ получить распределение вероятностей стимулов $\mathbf{p}^i = [p_1^i, \dots, p_K^i]^T$. Пусть модель представляет собой следующее отображение $\mathbf{f} : \mathbb{R}^{64 \times T} \times (\mathbb{R}^{1 \times T})^K \rightarrow [0, 1]^K$. Задача сводится к минимизации кросс-энтропии:

$$CE = -\frac{1}{N} \sum_{i=1}^N \sum_{k=1}^K y_k^i \log ([\mathbf{f}(\mathbf{X}^i, \mathbf{S}^i)]_k),$$

где $\mathbf{S}^i = (\mathbf{s}_1^i, \dots, \mathbf{s}_K^i)$. То есть решается задача мультиклассовой классификации.

Архитектура решения



Базовое решение:

Расширенная CNN — энкодер, который переводит ЭЭГ и стимулы в латентные пространства, где считается их близость (см. [3]).

Предлагаемые улучшения:

Для ЭЭГ заменить CNN на трансформер и использовать физико-информированный энкодер для стимула (см. [2], [4]).

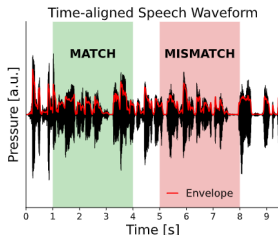
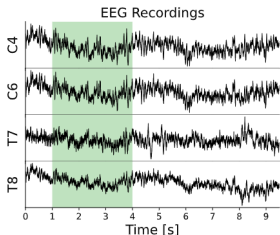
Данные для эксперимента

Эксперимент будет проверяться на данных SparrKULee (см. [1]).

- ▶ **Участники:** 85 участников.
- ▶ **Стимулы:** 6-10 аудиофрагментов разной категории, такие как аудиокниги и подкасты, каждый длительностью ≈ 15 минут.

После обработки, частота дискретизации всех данных была понижена до 64 Гц.

Подготовка данных



Пусть стимул обозначает сегмент аудиофрагмента. ЭЭГ и соответствующий аудиофрагмент делятся на сегменты фиксированной длины и для каждой пары (ЭЭГ, стимул) генерируются ложные стимулы.

Вычислительный эксперимент

	participant_id	age	sex	native_language	handedness	extra_comments
0	sub-001	21 to 23	F	Dutch, Flemish	right	NaN
4	sub-005	18 to 20	F	Dutch, Flemish	right	NaN
10	sub-011	21 to 23	F	Dutch, Flemish	right	NaN
12	sub-013	21 to 23	F	Dutch, Flemish	right	NaN
13	sub-014	21 to 23	M	Dutch, Flemish	right	NaN
16	sub-017	18 to 20	M	Dutch, Flemish	left	NaN
20	sub-021	18 to 20	M	Dutch, Flemish	right	NaN
21	sub-022	21 to 23	F	Dutch, Flemish	right	NaN
23	sub-024	18 to 20	M	Dutch, Flemish	right	NaN
28	sub-029	18 to 20	M	Dutch, Flemish	ambidexter	NaN
29	sub-030	21 to 23	M	Dutch, Flemish	right	NaN
32	sub-033	21 to 23	M	Dutch, Flemish	right	NaN
35	sub-036	24 to 26	F	Dutch, Flemish	right	NaN
41	sub-042	18 to 20	F	Dutch, Flemish	right	NaN
61	sub-062	21 to 23	M	Dutch, Flemish	right	NaN
63	sub-064	21 to 23	F	Dutch, Flemish	right	NaN
71	sub-072	21 to 23	F	Dutch, Flemish	right	NaN
72	sub-073	21 to 23	M	Dutch, Flemish	right	NaN
74	sub-075	24 to 26	M	Dutch, Flemish	right	NaN
75	sub-076	24 to 26	F	Dutch, Flemish	left	NaN
77	sub-078	18 to 20	M	Dutch, Flemish	right	NaN
84	sub-085	21 to 23	F	Dutch, Flemish	right	NaN

Рис.: Выборка, которая использовалась для эксперимента

Эксперимент проводился на подвыборке данных. Были отобраны 22 участника и аудиофрагменты, которые они слушали, а также их записи ЭЭГ.

Для эксперимента были взяты следующие параметры:

- ▶ Размер окна - 5 секунд
- ▶ Шаг окна - 1 секунда
- ▶ Количество ложных стимулов - 4

После разбиения по окнам и генерации ложных стимулов получилось 612500 кортежей.

Результаты эксперимента

Обозначим множество классов, как $\{0, \dots, K - 1\}$. Учитывая это, метрика качества вычисляется по формуле

$$Score = \frac{1}{22} \sum_{i=1}^{22} \frac{1}{l_i} \sum_{j=1}^{l_i} [y_j^i = pred_j^i],$$

где $y_j^i \in \{0, \dots, K - 1\}$ — метка объекта, l_i — количество пар ЭЭГ-стимул для i -го участника, а $pred_j^i$ — предсказание модели на объекте j .

Model	Score (%)
Baseline	99.08 ± 0.27
Transformer Encoder	99.95 ± 0.04
Wav2Vec2	99.43 ± 0.39
Whisper-small	83.31 ± 4.37
Transformer Encoder + Wav2Vec2	99.78 ± 0.16
Transformer Encoder + Whisper-small	95.44 ± 2.50

- [1] Lies Bollens, Bernd Accou, Hugo Van hamme, and Tom Francart. SparrKULee: A Speech-evoked Auditory Response Repository of the KU Leuven, containing EEG of 85 participants, 2023.
- [2] Marvin Borsdorf, Saurav Pahuja, Gabriel Ivucic, Siqi Cai, Haizhou Li, and Tanja Schultz. Multi-head attention and gru for improved match-mismatch classification of speech stimulus and eeg response. pages 1–2, 06 2023.
- [3] Bernd Accou et al. Modeling the relationship between acoustic stimulus and eeg with a dilated convolutional neural network. *2020 28th European Signal Processing Conference (EUSIPCO)*.
- [4] Bo Wang, Xiran Xu, Zechen Zhang, Haolin Zhu, Yujie Yan, Xihong Wu, and Jing Chen. Self-supervised speech representation and contextual text embedding for match-mismatch classification with eeg recording. *ArXiv*, abs/2401.04964, 2024.